

Procjene maksimalnih godišnjih kratkotrajnih količina oborine na postaji Letaj - Brana

Geografska širina (φ): 45.26036° (313820.37E)

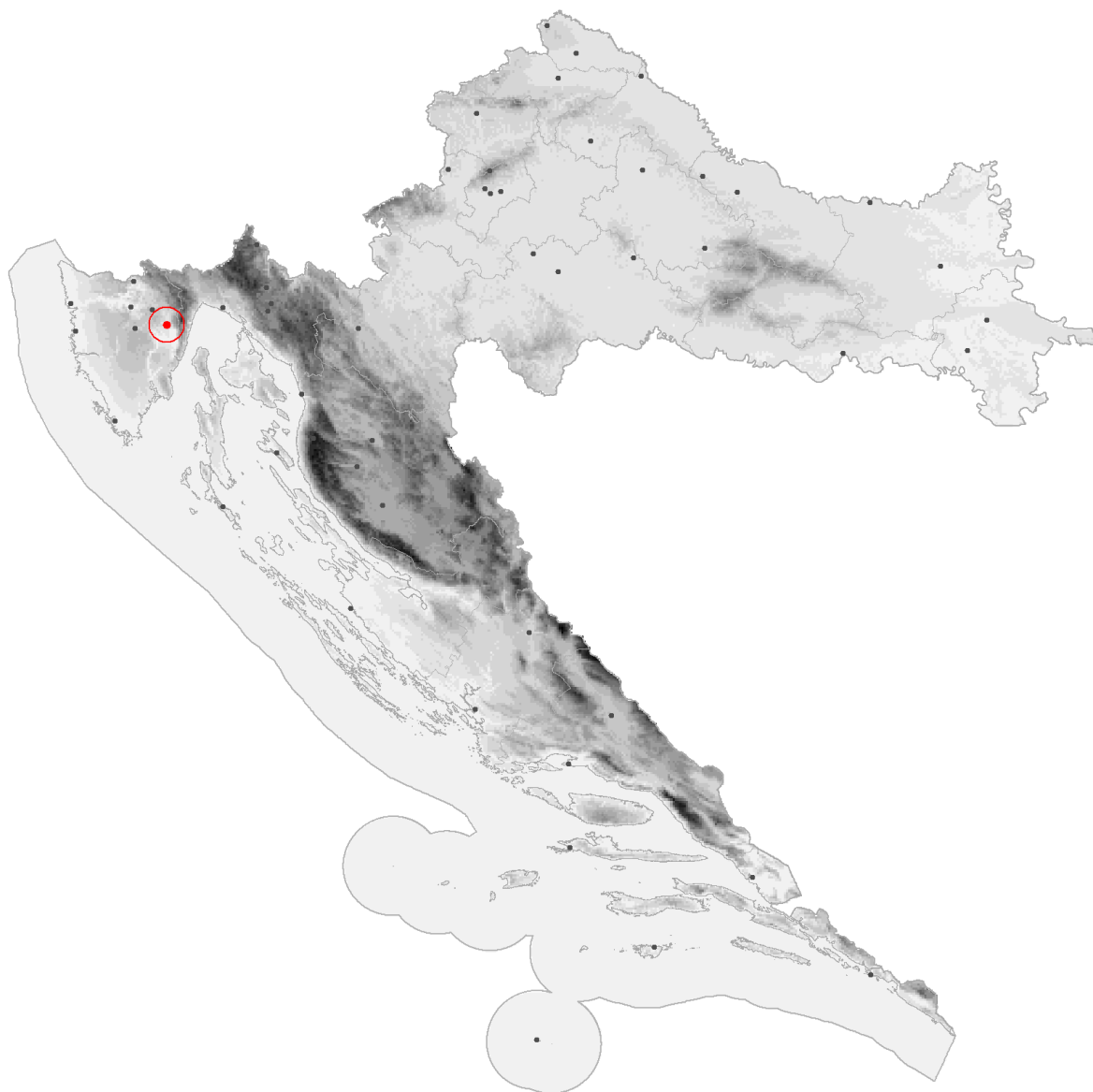
Geografska dužina (λ): 14.12771° (5016116.84N)

Nadmorska visina (h): 97 m

Razdoblje: 1974. – 2020.

Analizirani broj godina: 45 (95.7 %)

Nedostajuće godine: 2 (4.3 %) 1983, 2011



Najbliži ombrograf: Grdinići, 10 km

Tablica 1.

Osnovni statistički parametri oborine za različita trajanja: Rsred – srednjak [mm], StDev – standardna devijacija [mm], CV – koeficijent varijacije oborine, Rmaks – najveća registrirana količina oborine [mm] i pripadni datum i vrijeme, Tmaks – pripadno povratno razdoblje za Rmaks [god]. **LETAJ - BRANA, razdoblje 1974. – 2020.**

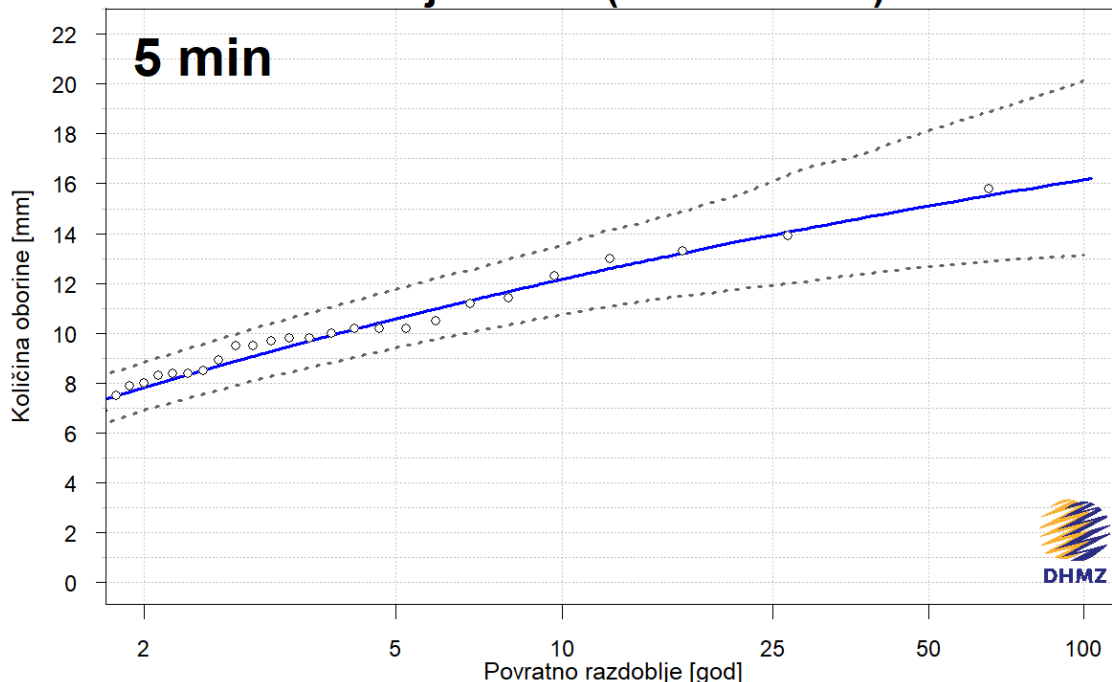
Trajanje	Rsred	StDev	CV	Rmaks	Datum/Vrijeme	Tmaks
5 min	8.1	3.0	0.37	15.8	2010-07-27 13:50:00	79
10 min	13.1	4.8	0.37	24.7	2010-07-27 13:55:00	49
20 min	20.0	7.2	0.36	41.4	2010-07-27 14:05:00	113
30 min	25.6	9.5	0.37	58.7	2010-07-27 14:15:00	250
40 min	29.7	10.6	0.36	67.0	2010-07-27 14:25:00	153
50 min	33.1	11.5	0.35	74.3	2010-07-27 14:25:00	124
60 min	35.7	12.4	0.35	79.2	2010-07-27 14:25:00	90
2 h	46.0	16.1	0.35	90.8	2010-07-27 15:15:00	40
3 h	52.3	18.7	0.36	110.7	1993-10-22 03:00:00	63
4 h	56.3	21.5	0.38	133.9	1993-10-22 04:00:00	94
6 h	61.9	24.8	0.40	148.8	1993-10-22 06:00:00	82
8 h	66.2	26.2	0.40	155.4	1993-10-22 08:00:00	77
12 h	72.3	28.4	0.39	161.5	1993-10-22 05:40:00	54
24 h	83.8	33.9	0.40	198.6	1993-10-22 08:25:00	65

Tablica 2.

Procjene maksimalnih godišnjih količina oborine RT [mm] za različita trajanja i odgovarajuće donje (IPd) i gornje granice (IPg) 95%-tnih intervala pouzdanosti za različita povratna razdoblja T (2, 5, 10, 25, 50 i 100 godina). **LETAJ - BRANA, razdoblje 1974. – 2020.**

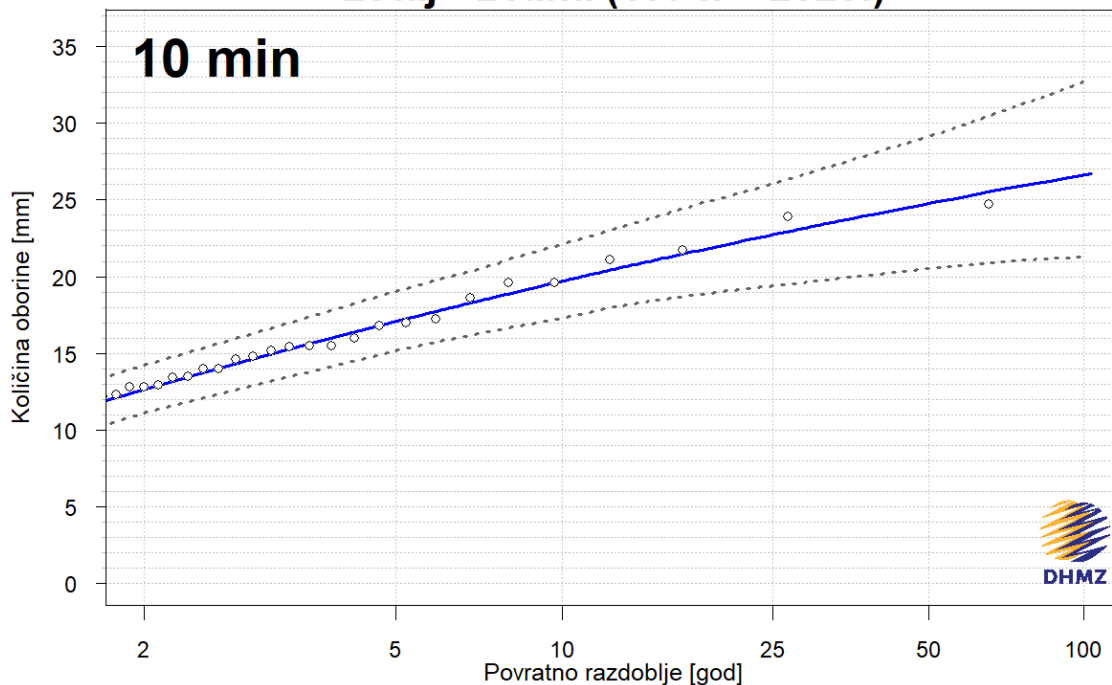
Trajanje	T2			T5			T10			T25			T50			T100		
	IPd	RT	IPg	IPd	RT	IPg	IPd	RT	IPg	IPd	RT	IPg	IPd	RT	IPg	IPd	RT	IPg
5 min	6.9	7.8	8.9	9.4	10.6	11.8	10.7	12.2	13.5	11.9	13.9	16.1	12.7	15.1	18.1	13.1	16.2	20.1
10 min	11.1	12.6	14.2	15.2	17.1	19.0	17.3	19.7	22.1	19.4	22.7	26.1	20.5	24.8	29.2	21.3	26.6	32.7
20 min	17.0	19.1	21.4	22.6	25.6	28.5	25.6	29.7	33.3	28.9	34.4	40.0	30.7	37.7	45.4	32.3	40.9	51.3
30 min	21.7	24.3	27.2	28.9	32.6	36.6	33.2	37.8	42.6	37.4	44.2	52.2	39.8	48.7	59.7	41.5	53.1	68.2
40 min	25.2	27.9	30.9	33.0	37.0	41.3	37.1	43.2	49.4	41.7	51.2	61.8	45.2	57.2	72.2	47.6	63.2	84.1
50 min	28.1	30.9	34.2	36.4	40.9	46.3	41.5	47.9	55.5	47.3	57.2	70.2	50.8	64.5	82.3	53.6	71.9	99.0
60 min	30.1	32.9	36.1	39.1	43.7	49.2	45.1	51.6	60.1	51.7	62.5	77.6	55.8	71.3	95.4	59.0	80.7	118.1
2 h	38.3	41.9	46.1	49.0	55.8	63.8	56.1	66.5	78.6	64.4	81.9	106.5	70.6	95.1	134.4	76.6	109.6	168.5
3 h	43.5	48.2	53.9	57.5	64.6	74.8	65.7	76.6	91.1	74.6	93.0	118.5	80.9	106.1	144.7	85.7	120.1	176.5
4 h	45.9	51.4	57.7	60.5	70.0	79.4	70.8	83.8	98.4	81.2	103.0	128.5	88.8	118.7	156.8	95.5	135.6	192.9
6 h	50.0	56.1	62.9	67.3	77.5	89.4	77.8	93.5	111.0	90.3	116.1	146.5	100.0	134.7	186.4	108.7	154.9	232.8
8 h	53.4	60.2	68.1	72.5	83.0	95.2	84.5	99.9	118.9	98.7	123.4	159.2	107.6	142.7	202.4	114.1	163.4	254.2
12 h	58.5	65.0	72.5	76.2	89.1	101.0	88.8	107.9	127.3	102.8	135.4	172.9	112.5	159.0	219.7	120.7	185.3	280.3
24 h	67.3	75.1	84.6	90.5	103.2	120.5	105.7	125.4	154.4	122.6	158.3	209.0	132.6	186.7	264.4	143.5	218.8	347.8

Letaj - Brana (1974. – 2020.)



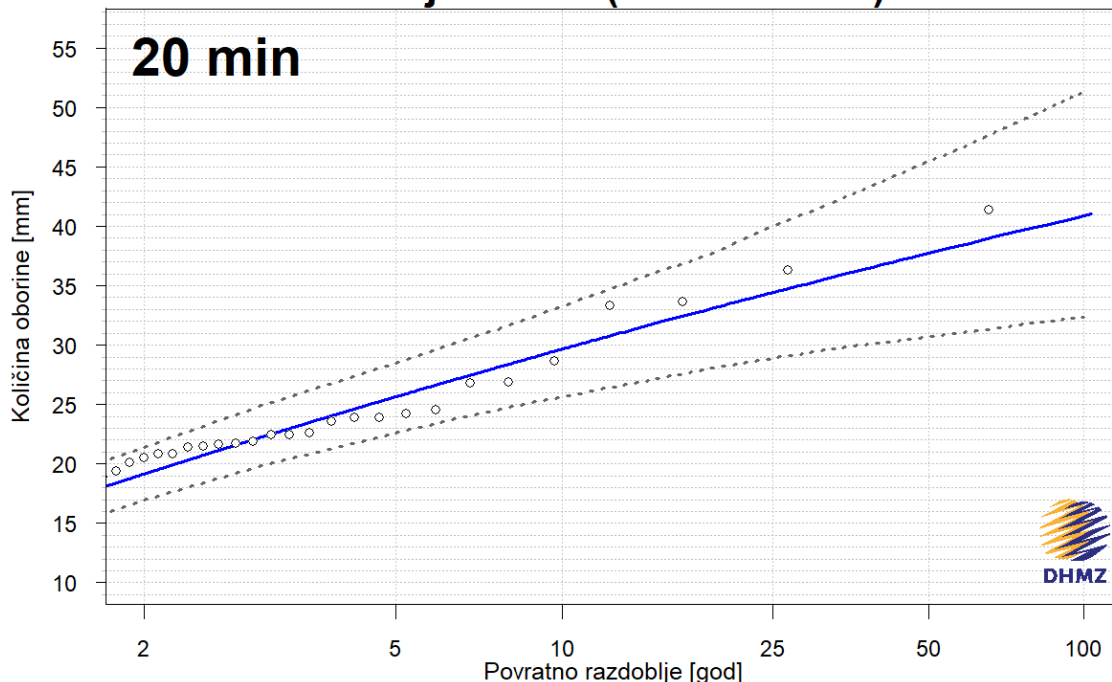
Slika 1. Procjene maksimalnih godišnjih količina oborine za različita povratna razdoblja (plava krivulja) i odgovarajući donji i gornji 95%-tni intervali pouzdanosti (crtkane krivulje) za trajanje **5 minuta**, izračunate pomoću razdiobe GEV

Letaj - Brana (1974. – 2020.)



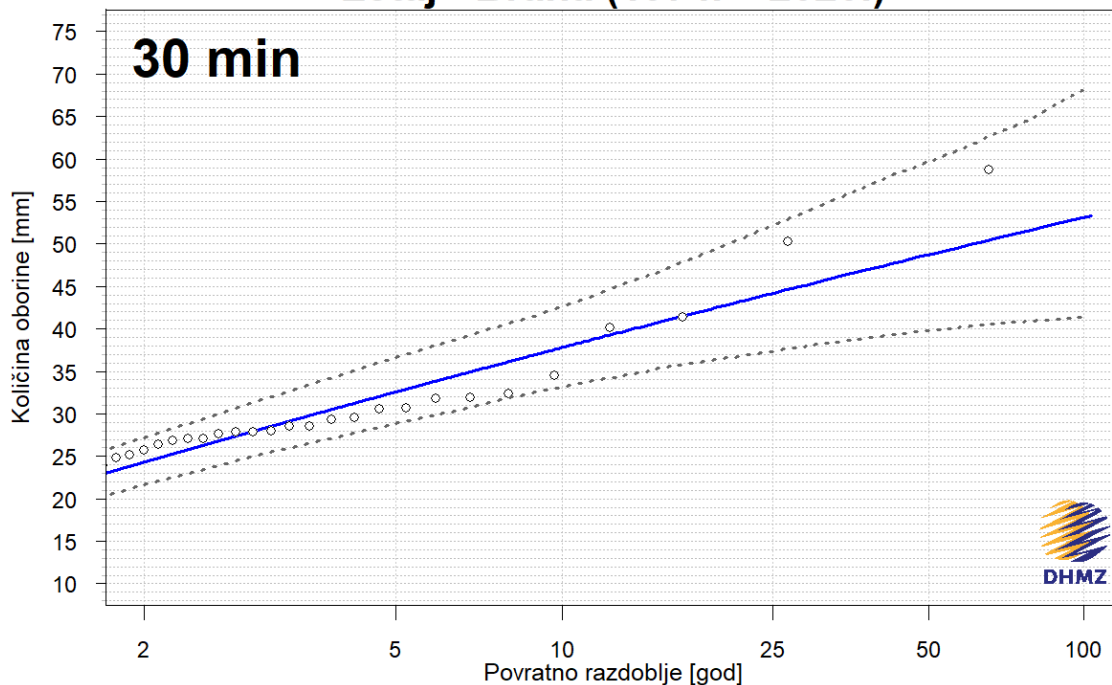
Slika 2. Procjene maksimalnih količina oborine za različita povratna razdoblja (plava krivulja) i odgovarajući donji i gornji 95%-tni intervali pouzdanosti (crtkane krivulje) za trajanje **10 minuta**, izračunate pomoću razdiobe GEV

Letaj - Brana (1974. – 2020.)



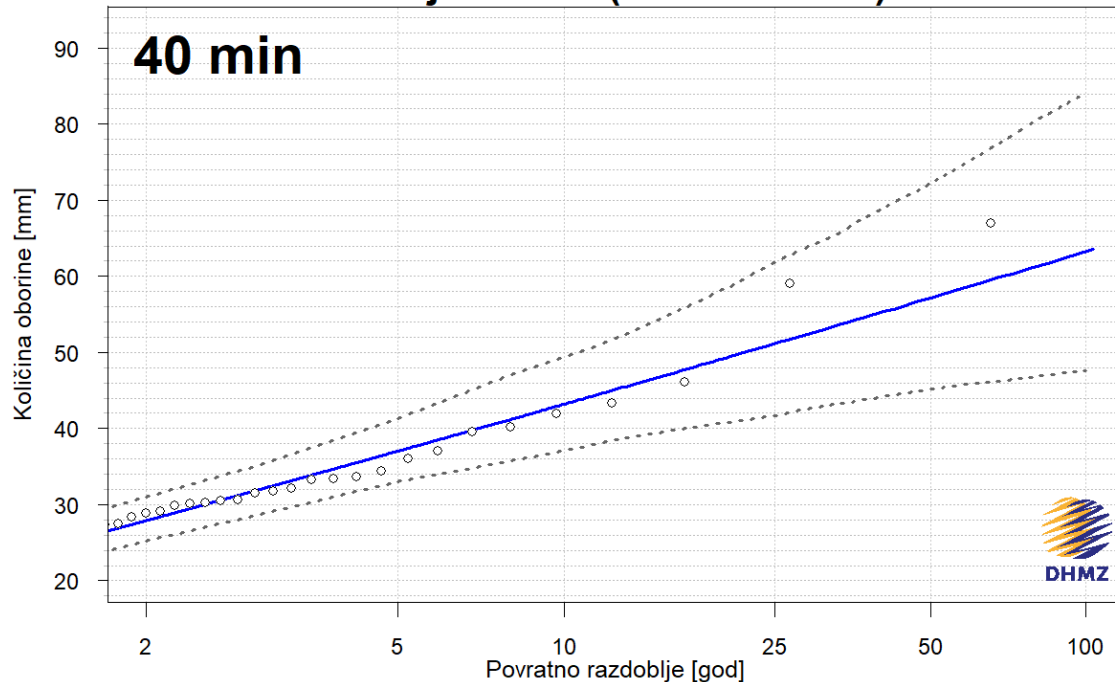
Slika 3. Procjene maksimalnih godišnjih količina oborine za različita povratna razdoblja (plava krivulja) i odgovarajući donji i gornji 95%-tni intervali pouzdanosti (crtkane krivulje) za trajanje **20 minuta**, izračunate pomoću razdiobe GEV

Letaj - Brana (1974. – 2020.)



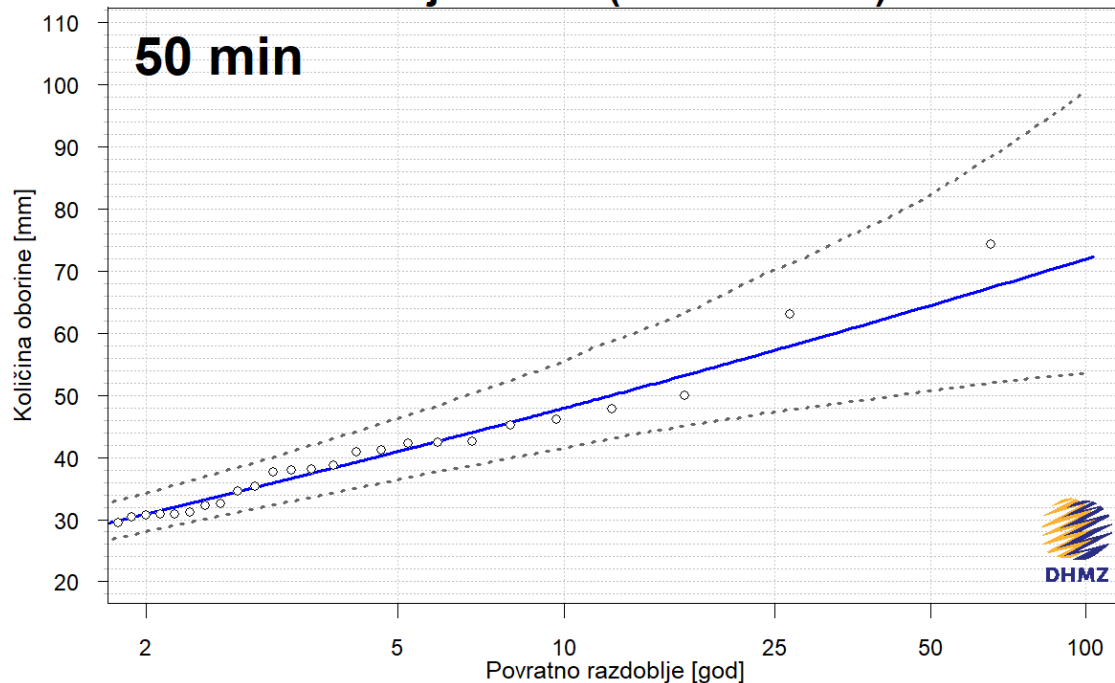
Slika 4. Procjene maksimalnih godišnjih količina oborine za različita povratna razdoblja (plava krivulja) i odgovarajući donji i gornji 95%-tni intervali pouzdanosti (crtkane krivulje) za trajanje **30 minuta**, izračunate pomoću razdiobe GEV

Letaj - Brana (1974. – 2020.)

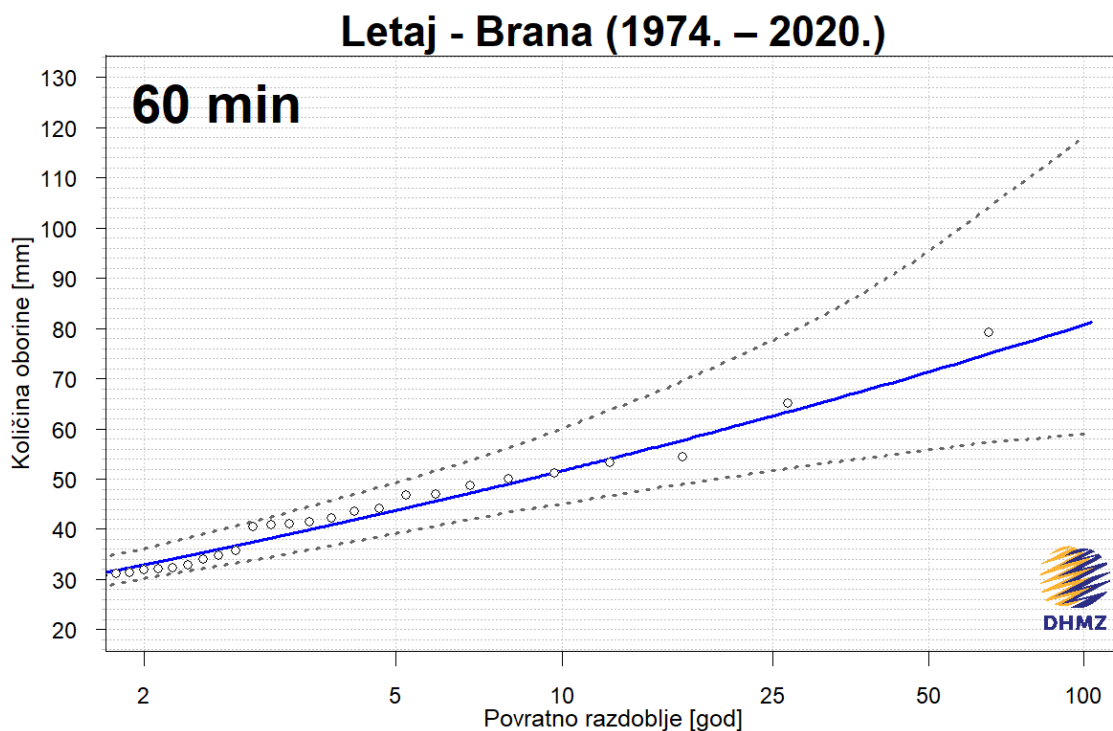


Slika 5. Procjene maksimalnih godišnjih količina oborine za različita povratna razdoblja (plava krivulja) i odgovarajući donji i gornji 95%-tni intervali pouzdanosti (crtkane krivulje) za trajanje **40 minuta**, izračunate pomoću razdiobe GEV

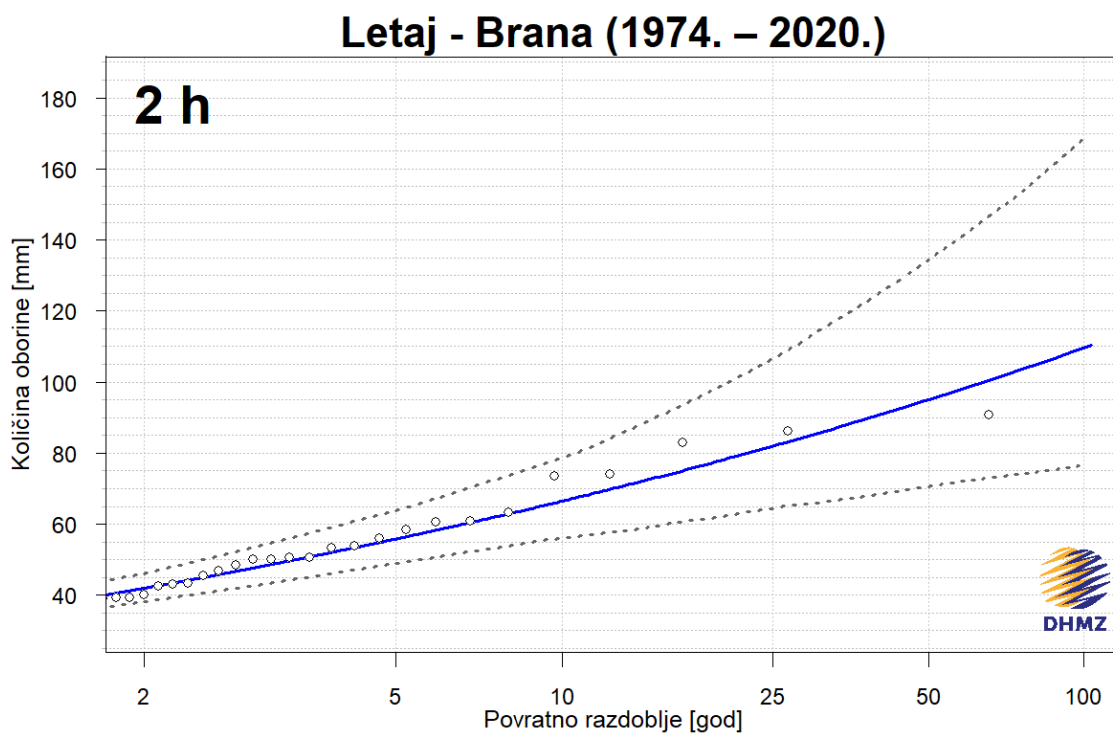
Letaj - Brana (1974. – 2020.)



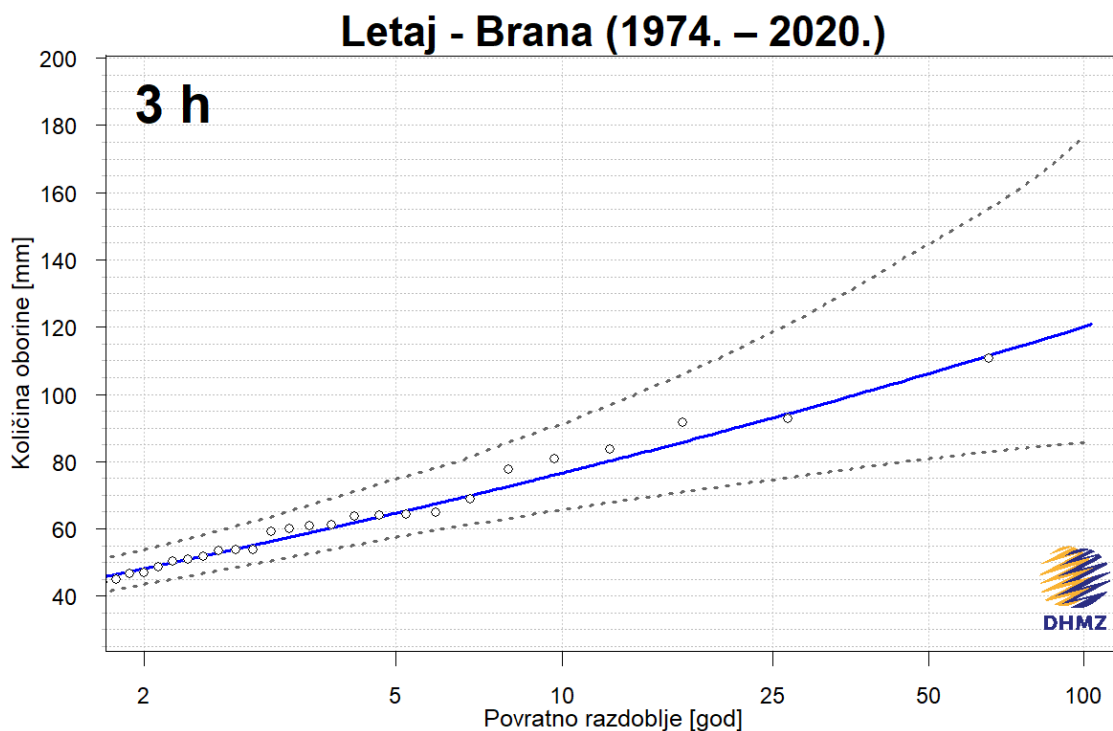
Slika 6. Procjene maksimalnih godišnjih količina oborine za različita povratna razdoblja (plava krivulja) i odgovarajući donji i gornji 95%-tni intervali pouzdanosti (crtkane krivulje) za trajanje **50 minuta**, izračunate pomoću razdiobe GEV



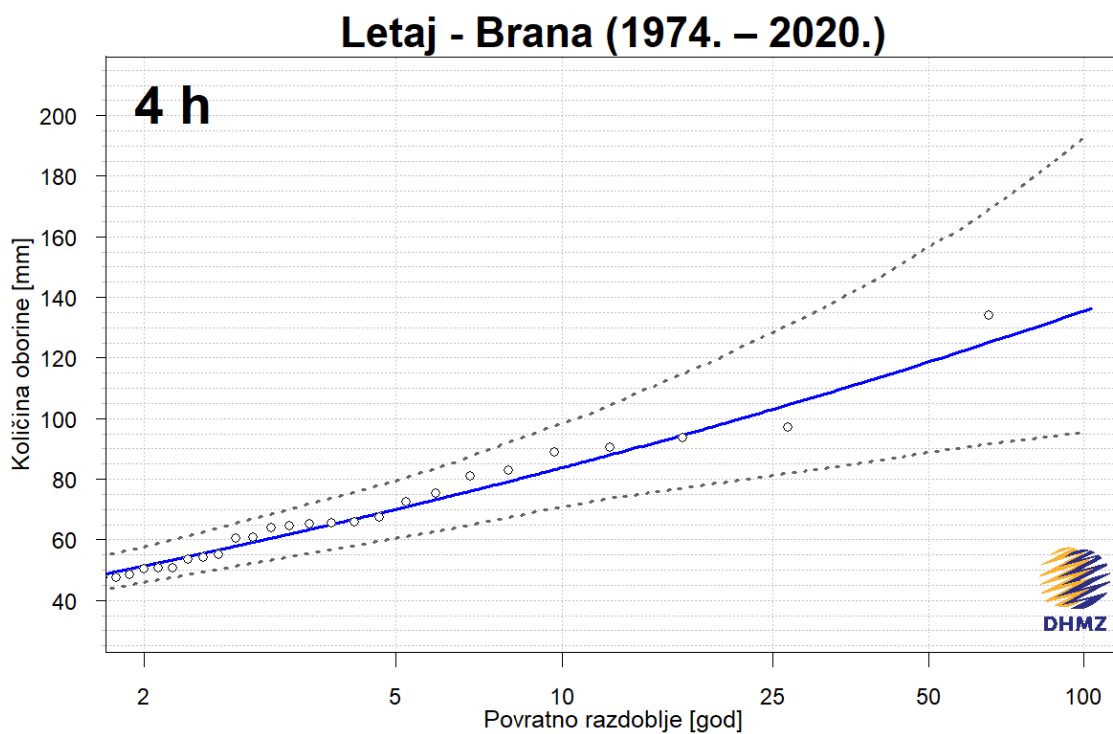
Slika 7. Procjene maksimalnih godišnjih količina oborine za različita povratna razdoblja (plava krivulja) i odgovarajući donji i gornji 95%-tni intervali pouzdanosti (crtkane krivulje) za trajanje **60 minuta**, izračunate pomoću razdiobe GEV



Slika 8. Procjene maksimalnih godišnjih količina oborine za različita povratna razdoblja (plava krivulja) i odgovarajući donji i gornji 95%-tni intervali pouzdanosti (crtkane krivulje) za trajanje **2 h**, izračunate pomoću razdiobe GEV

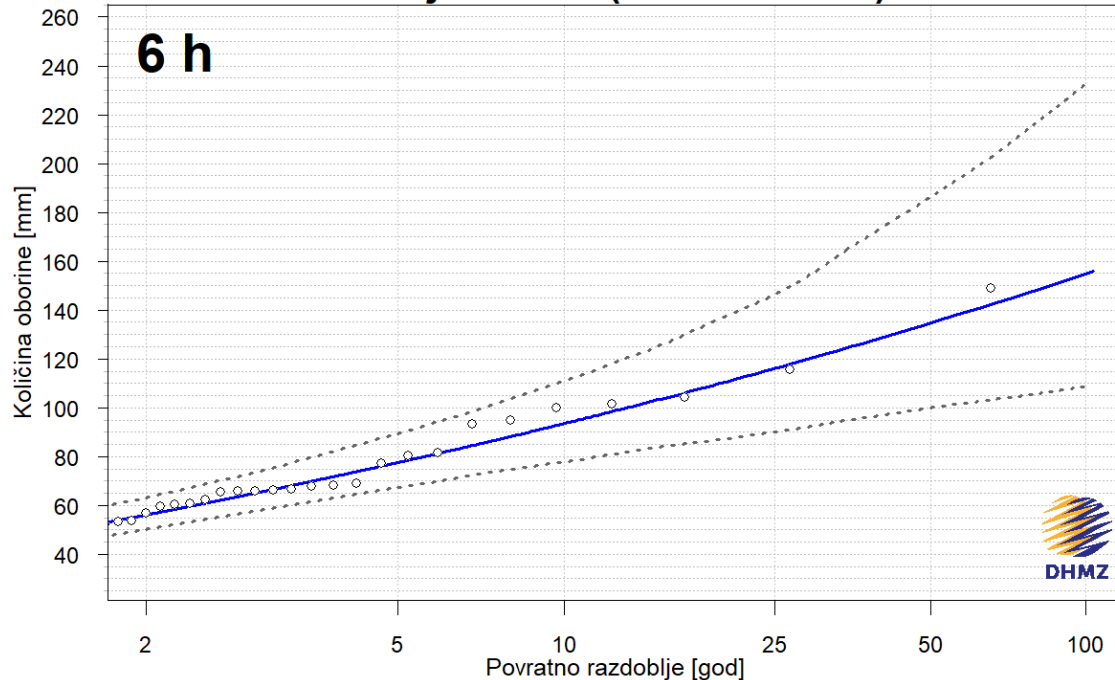


Slika 9. Procjene maksimalnih godišnjih količina oborine za različita povratna razdoblja (plava krivulja) i odgovarajući donji i gornji 95%-tni intervali pouzdanosti (crtkane krivulje) za trajanje **3 h**, izračunate pomoću razdiobe GEV



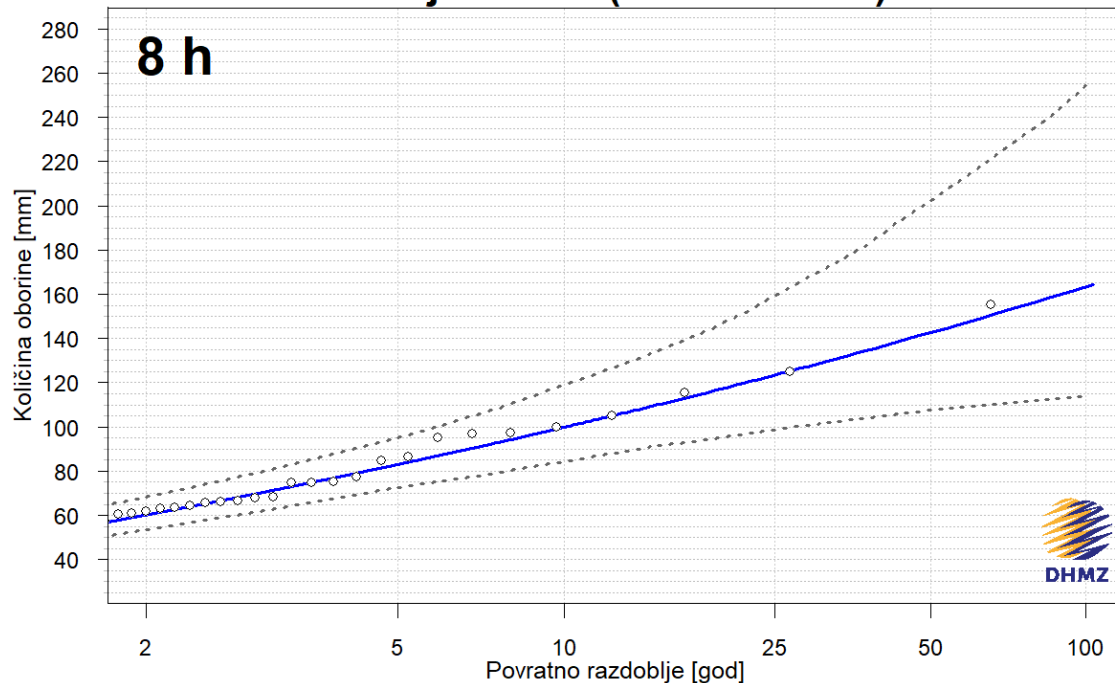
Slika 10. Procjene maksimalnih godišnjih količina oborine za različita povratna razdoblja (plava krivulja) i odgovarajući donji i gornji 95%-tni intervali pouzdanosti (crtkane krivulje) za trajanje **4 h**, izračunate pomoću razdiobe GEV

Letaj - Brana (1974. – 2020.)



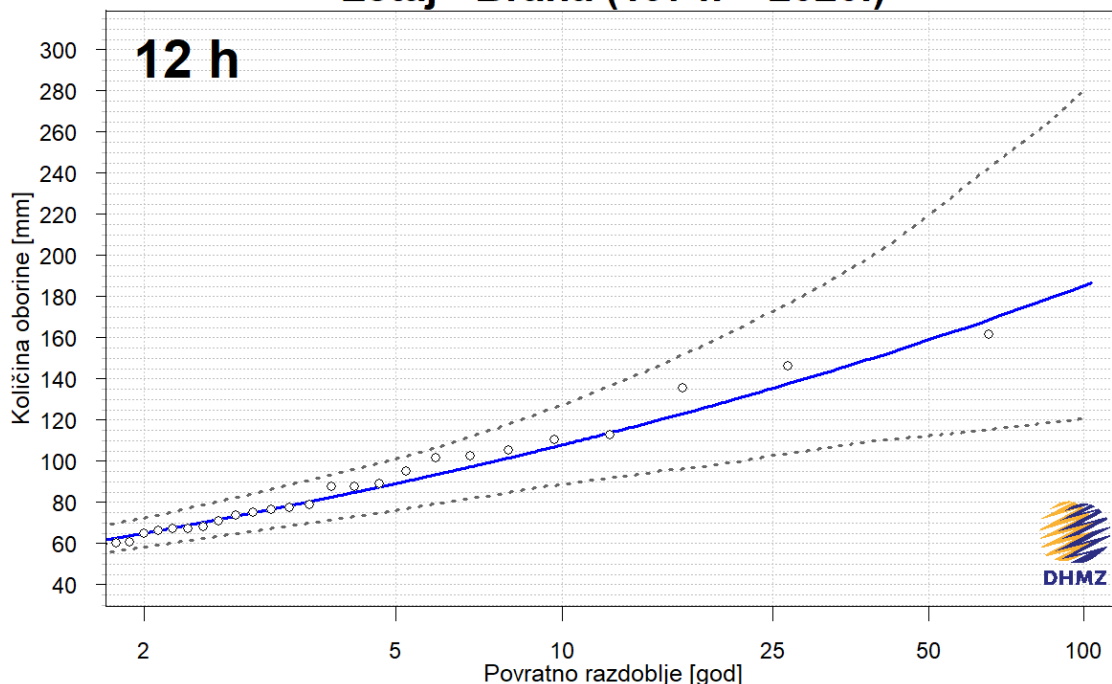
Slika 11. Procjene maksimalnih godišnjih količina oborine za različita povratna razdoblja (plava krivulja) i odgovarajući donji i gornji 95%-tni intervali pouzdanosti (crtkane krivulje) za trajanje **6 h**, izračunate pomoću razdiobe GEV

Letaj - Brana (1974. – 2020.)



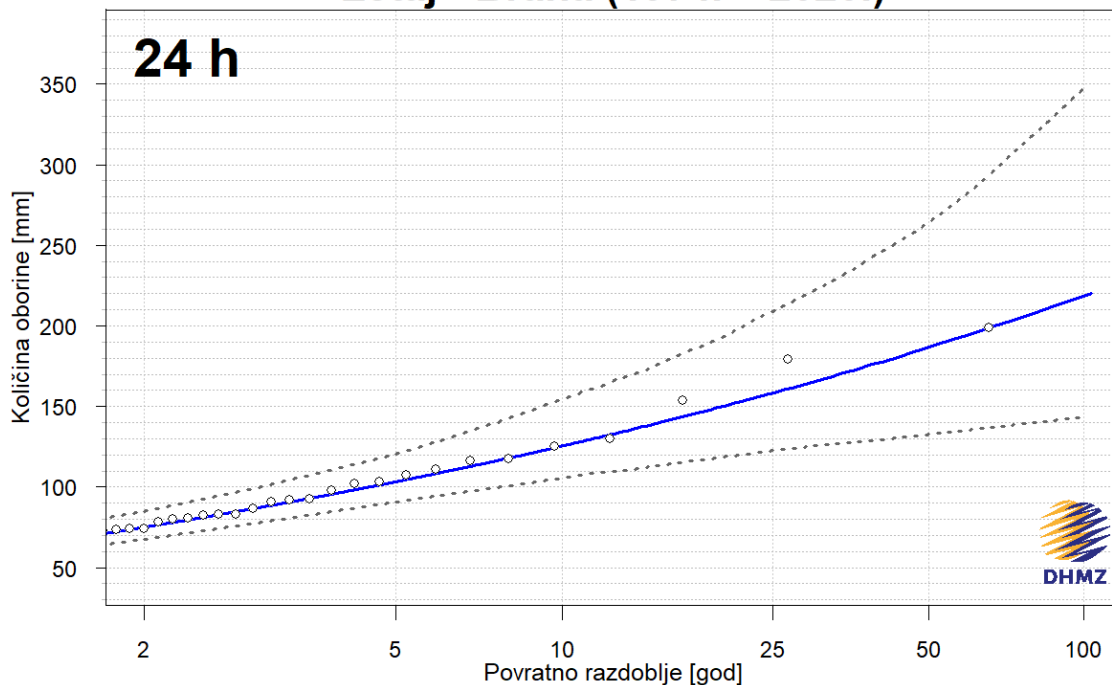
Slika 12. Procjene maksimalnih godišnjih količina oborine za različita povratna razdoblja (plava krivulja) i odgovarajući donji i gornji 95%-tni intervali pouzdanosti (crtkane krivulje) za trajanje **8 h**, izračunate pomoću razdiobe GEV

Letaj - Brana (1974. – 2020.)



Slika 13. Procjene maksimalnih godišnjih količina oborine za različita povratna razdoblja (plava krivulja) i odgovarajući donji i gornji 95%-tni intervali pouzdanosti (crtkane krivulje) za trajanje **12 h**, izračunate pomoću razdiobe GEV

Letaj - Brana (1974. – 2020.)



Slika 14. Procjene maksimalnih godišnjih količina oborine za različita povratna razdoblja (plava krivulja) i odgovarajući donji i gornji 95%-tni intervali pouzdanosti (crtkane krivulje) za trajanje **24 h**, izračunate pomoću razdiobe GEV